



TECHNISCHE
UNIVERSITÄT
DRESDEN

KONZEPTION, AUFBAU UND INBETRIEBNAHME EINES SELBSTSTABILISIERENDEN EINACHSIGEN FAHRZEUGES

Bolorkhuu Dariimaa

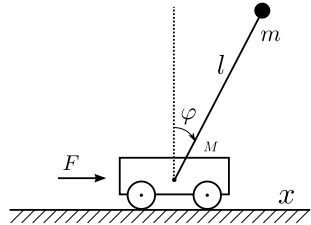
Dresden, 02.10.2014

Gliederung

- Einführung
- Modellbildung
- Reglerentwurf
- Mechanischer Aufbau und elektrische Komponenten
- Umsetzung
- Ergebnis
- Zusammenfassung und Ausblick

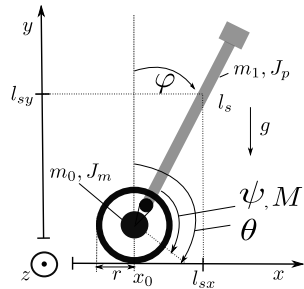
Inverses Pendel auf Wagen

- unteraktuiertes System
- 2 generalisierte Koordinaten (φ , x)
- DOF: 2 (Wagenposition, Pendelwinkel)



Inverses Pendel auf Rädern

- unteraktuiertes System
- 3 Koordinaten (ψ , φ , θ)
- 1 holonome Zwangsbedingung
 $\theta = \psi + \varphi$
- DOF: 2 (Radposition, Pendelwinkel)

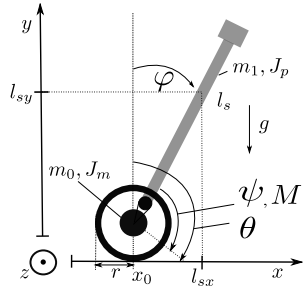


Gliederung

- Einführung
- Modellbildung
- Reglerentwurf
- Mechanischer Aufbau und elektrische Komponenten
- Umsetzung
- Ergebnis
- Zusammenfassung und Ausblick

Herleitung der Bewegungsgleichungen

- Generalisierte Koordinaten
 $[\psi, \varphi]^T =: [q_1, q_2]^T =: \mathbf{q}$
- Schwerpunktskoordinaten
 $l_{sx} = r(q_1 + q_2) + l_s \sin(q_2)$
 $l_{sy} = l_s \cos(q_2)$
- φ : Absolutwinkel des Pendels
- ψ : Relativwinkel zwischen Rad und Pendel
- θ : Rollwinkel des Rades



Kinetische Energie

$$T(q, \dot{q}) = m_0 r^2 \frac{(\dot{q}_1 + \dot{q}_2)^2}{2} + J_m \frac{(\dot{q}_1 + \dot{q}_2)^2}{2} + J_p \frac{\dot{q}_2^2}{2} + \frac{m_1}{2} \left[\left(\frac{d}{dt} l_{sx} \right)^2 + \left(\frac{d}{dt} l_{sy} \right)^2 \right]$$

Potenzielle Energie

$$U(q) = m_1 g l_{sy}$$

LAGRANGSCHE Funktion

$$L = T - U$$

Lagrangsche Gleichung

$$\frac{d}{dt} \left(\frac{dL}{d\dot{q}_i} \right) - \frac{dL}{dq_i} = \tau_i, \quad i = 1, 2$$

Matrizen-Darstellung

$$\begin{bmatrix} M_{11}(q) & M_{12}(q) \\ M_{21}(q) & M_{22}(q) \end{bmatrix} \begin{bmatrix} \ddot{q}_1 \\ \ddot{q}_2 \end{bmatrix} + \begin{bmatrix} C_1(q, \dot{q}) \\ C_2(q, \dot{q}) \end{bmatrix} + \begin{bmatrix} K_1(q) \\ K_2(q) \end{bmatrix} = \begin{bmatrix} \tau_1 \\ \tau_2 \end{bmatrix}$$

$$\begin{bmatrix} M_{11}(q) & M_{12}(q) \\ M_{21}(q) & M_{22}(q) \end{bmatrix} \begin{bmatrix} \ddot{q}_1 \\ \ddot{q}_2 \end{bmatrix} + \begin{bmatrix} C_1(q, \dot{q}) \\ C_2(q, \dot{q}) \end{bmatrix} + \begin{bmatrix} K_1(q) \\ K_2(q) \end{bmatrix} = \begin{bmatrix} \tau_1 \\ \tau_2 \end{bmatrix}$$

- Massenmatrix

$$\begin{bmatrix} J^* & J^* + l_s m_1 r \cos(q_2) \\ J^* + l_s m_1 r \cos(q_2) & J^* + J_p + m_1 l_s^2 + 2l_s m_1 r \cos(q_2) \end{bmatrix}$$

für $J^* = J_m + (m_0 + m_1)r^2$

$$\begin{bmatrix} M_{11}(q) & M_{12}(q) \\ M_{21}(q) & M_{22}(q) \end{bmatrix} \begin{bmatrix} \ddot{q}_1 \\ \ddot{q}_2 \end{bmatrix} + \begin{bmatrix} C_1(q, \dot{q}) \\ C_2(q, \dot{q}) \end{bmatrix} + \begin{bmatrix} K_1(q) \\ K_2(q) \end{bmatrix} = \begin{bmatrix} \tau_1 \\ \tau_2 \end{bmatrix}$$

- Massenmatrix

$$\begin{bmatrix} J^* & J^* + l_s m_1 r \cos(q_2) \\ J^* + l_s m_1 r \cos(q_2) & J^* + J_p + m_1 l_s^2 + 2 l_s m_1 r \cos(q_2) \end{bmatrix}$$

für $J^* = J_m + (m_0 + m_1)r^2$

- Zentrifugal-/Corioliskräfte

$$\begin{bmatrix} C_1(q, \dot{q}) \\ C_2(q, \dot{q}) \end{bmatrix} = \begin{bmatrix} -l_s m_1 \dot{q}_2^2 r \sin(q_2) \\ -l_s m_1 \dot{q}_2^2 r \sin(q_2) \end{bmatrix}$$

$$\begin{bmatrix} M_{11}(q) & M_{12}(q) \\ M_{21}(q) & M_{22}(q) \end{bmatrix} \begin{bmatrix} \ddot{q}_1 \\ \ddot{q}_2 \end{bmatrix} + \begin{bmatrix} C_1(q, \dot{q}) \\ C_2(q, \dot{q}) \end{bmatrix} + \begin{bmatrix} K_1(q) \\ K_2(q) \end{bmatrix} = \begin{bmatrix} \tau_1 \\ \tau_2 \end{bmatrix}$$

- Massenmatrix

$$\begin{bmatrix} J^* & J^* + l_s m_1 r \cos(q_2) \\ J^* + l_s m_1 r \cos(q_2) & J^* + J_p + m_1 l_s^2 + 2 l_s m_1 r \cos(q_2) \end{bmatrix}$$

für $J^* = J_m + (m_0 + m_1)r^2$

- Zentrifugal-/Corioliskräfte

$$\begin{bmatrix} C_1(q, \dot{q}) \\ C_2(q, \dot{q}) \end{bmatrix} = \begin{bmatrix} -l_s m_1 \dot{q}_2^2 r \sin(q_2) \\ -l_s m_1 \dot{q}_2^2 r \sin(q_2) \end{bmatrix}$$

- Gelenkmomente durch Gravitation

$$\begin{bmatrix} K_1(q) \\ K_2(q) \end{bmatrix} = \begin{bmatrix} 0 \\ -g l_s m_1 \sin(q_2) \end{bmatrix}$$

$$\begin{bmatrix} M_{11}(q) & M_{12}(q) \\ M_{21}(q) & M_{22}(q) \end{bmatrix} \begin{bmatrix} \ddot{q}_1 \\ \ddot{q}_2 \end{bmatrix} + \begin{bmatrix} C_1(q, \dot{q}) \\ C_2(q, \dot{q}) \end{bmatrix} + \begin{bmatrix} K_1(q) \\ K_2(q) \end{bmatrix} = \begin{bmatrix} \tau_1 \\ \tau_2 \end{bmatrix}$$

- Massenmatrix

$$\begin{bmatrix} J^* & J^* + l_s m_1 r \cos(q_2) \\ J^* + l_s m_1 r \cos(q_2) & J^* + J_p + m_1 l_s^2 + 2 l_s m_1 r \cos(q_2) \end{bmatrix}$$

für $J^* = J_m + (m_0 + m_1)r^2$

- Zentrifugal-/Corioliskräfte

$$\begin{bmatrix} C_1(q, \dot{q}) \\ C_2(q, \dot{q}) \end{bmatrix} = \begin{bmatrix} -l_s m_1 \dot{q}_2^2 r \sin(q_2) \\ -l_s m_1 \dot{q}_2^2 r \sin(q_2) \end{bmatrix}$$

- Gelenkmomente durch Gravitation

$$\begin{bmatrix} K_1(q) \\ K_2(q) \end{bmatrix} = \begin{bmatrix} 0 \\ -g l_s m_1 \sin(q_2) \end{bmatrix}$$

- Antriebsgelenkmoment

$$\begin{bmatrix} \tau_1 \\ \tau_2 \end{bmatrix} = \begin{bmatrix} M \\ 0 \end{bmatrix}$$

Partielle Linearisierung

Neuer virtueller Eingang

$$a = \ddot{q}_1$$

Unterlagerte Rückführung

$$\begin{aligned} \tau_1 = & \left[M_{11}(q) - M_{12}(q)M_{22}^{-1}(q)M_{21}(q) \right] a - M_{12}(q)M_{22}^{-1}(q) (C_2(q, \dot{q}) + K_2(q, \dot{q})) \\ & + C_1(q, \dot{q}) + K_1(q). \end{aligned}$$

Partielllinearisiertes System

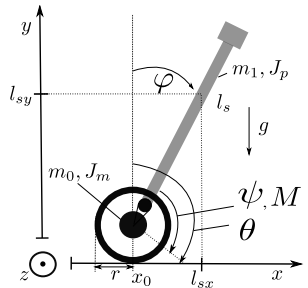
$$\ddot{q}_1 = a$$

$$\ddot{q}_2 = -M_{22}^{-1}(q) (C_2(q, \dot{q}) + K_2(q, \dot{q}) + M_{21}(q) a) .$$

Partielle Linearisierung

- Zustandsvektor im \mathbb{R}^4
 $x := [x_1 \ x_2 \ x_3 \ x_4]^T := [\psi \ \varphi \ \dot{\psi} \ \dot{\varphi}]^T$
- Das eingangsaffine System
 mit der Eingangsgröße $u = a$

$$\dot{x} = f(x) + g(x)u$$



bzw.

$$\begin{aligned} \dot{x}_1 &= x_3 \\ \dot{x}_2 &= x_4 \\ \dot{x}_3 &= a \\ \dot{x}_4 &= -M_{22}^{-1}(x) (C_2(x, \dot{x}) + K_2(x, \dot{x}) + M_{21}(x) a) \end{aligned}$$

Linearisierung um die Ruhelage

Ruhelage

$$x_0 = [x_{1,0} \ x_{2,0} \ x_{3,0} \ x_{4,0}]^T = [0 \ 0 \ 0 \ 0]^T$$

In der Zustandsraumdarstellung

$$\begin{bmatrix} \dot{\tilde{x}}_1 \\ \dot{\tilde{x}}_2 \\ \dot{\tilde{x}}_3 \\ \dot{\tilde{x}}_4 \end{bmatrix} = \begin{bmatrix} 0 & 0 & 1 & 0 \\ 0 & 0 & 0 & 1 \\ 0 & 0 & 0 & 0 \\ 0 & a_{42} & 0 & 0 \end{bmatrix} \begin{bmatrix} \tilde{x}_1 \\ \tilde{x}_2 \\ \tilde{x}_3 \\ \tilde{x}_4 \end{bmatrix} + \begin{bmatrix} 0 \\ 0 \\ 1 \\ b_4 \end{bmatrix} \tilde{u}$$

$$a_{42} = \frac{g l_s m_1}{J_p + J_m + I_s^2 m_1 + 2 l_s m_1 r + (m_0 + m_1) r^2}$$

$$b_4 = - \frac{J_m + l_s m_1 r + (m_0 + m_1) r^2}{J_p + J_m + I_s^2 m_1 + 2 l_s m_1 r + (m_0 + m_1) r^2}$$

In der allgemeinen Darstellung

$$\dot{\tilde{x}}(t) = A \tilde{x}(t) + b \tilde{u}, \quad \tilde{x}(t_0) = x_0$$

Gliederung

- Einführung
- Modellbildung
- Reglerentwurf
- Mechanischer Aufbau und elektrische Komponenten
- Umsetzung
- Ergebnis
- Zusammenfassung und Ausblick

Reglerentwurf

Die Kalmanische Steuerbarkeitsmatrix S

$$S = [b, Ab, A^2b, A^3b] = \begin{bmatrix} 0 & 1 & 0 & 0 \\ 0 & b_4 & 0 & a_{42}b_4 \\ 1 & 0 & 0 & 0 \\ b_4 & 0 & a_{42}b_4 & 0 \end{bmatrix}.$$

Determinante

$$\det(S) = -a_{42}^2 \cdot b_4^2, \quad \Rightarrow \text{Rg}(S) = 4.$$

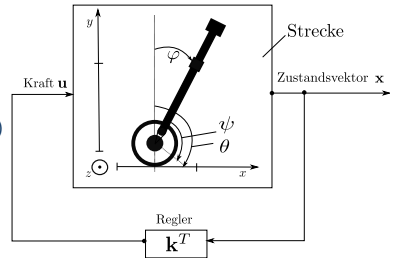
Die Polstellen der offenen Strecke

$$\det(sI - A) = 0$$

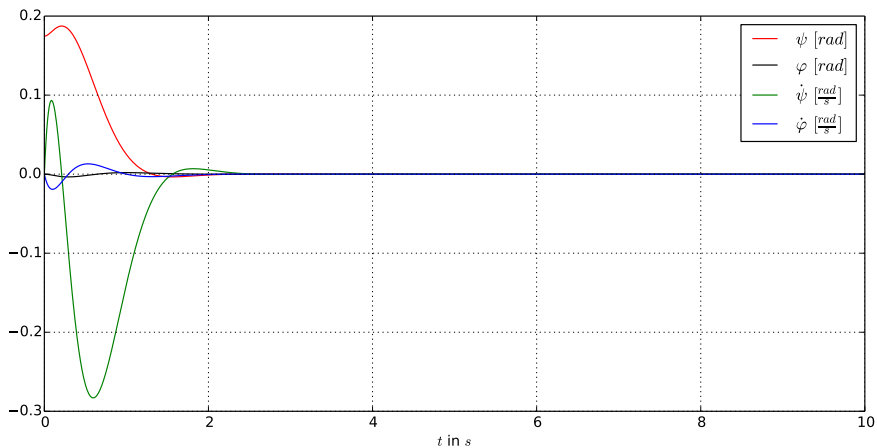
$$s_{1,2}^0 = 0, \quad s_{3,4}^0 = \pm \sqrt{a_{42}}.$$

System ist instabil, Regler notwendig

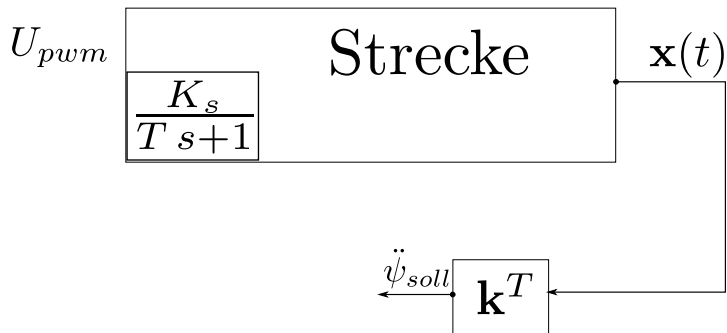
- Gewünschte Pole
 $s_1 = s_2 = -5, \quad s_{3,4} = -3 \pm 3j$
- Charakteristische Polynom
 $\text{CLCP} = (s + 5)^2(s + 3 - 3j)(s + 3 + 3j)$
- Charakteristische Polynom
 des geregelten Systems
 $\text{CLCP} = \det(sI - A - b(k_1, k_2, k_3, k_4))$
- Bestimmung von Reglerverstärkungen
 mittels Koeffizientenvergleich



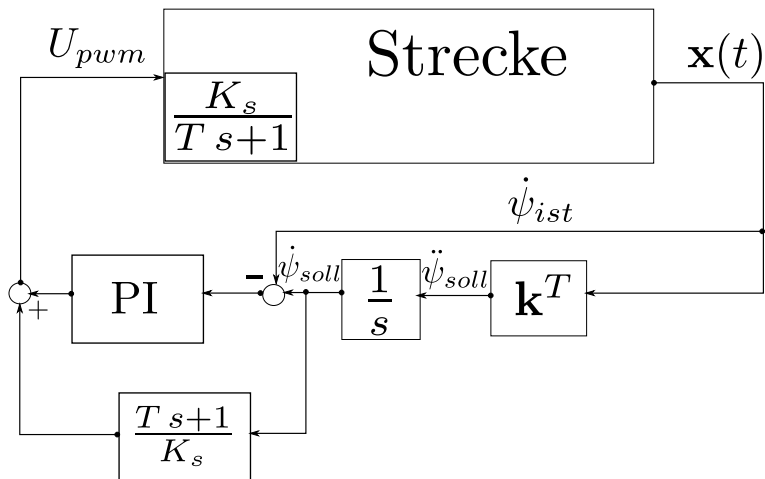
Simulation



Struktur des Regelkreises



Struktur des Regelkreises



Gliederung

- Einführung
- Modellbildung
- Reglerentwurf
- Mechanischer Aufbau und elektrische Komponenten
- Umsetzung
- Ergebnis
- Zusammenfassung und Ausblick

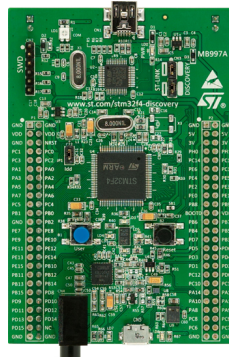
Eingesetzter Mikrokontroller STM32F407

Gute Eigenschaften

- Systemtakt bis 168MHz ARM-Kern
- 1MB Flash, 512kByte Ram
- Gleitkommarechnung (Software, Hardware)
- viele Pins
- OpenSource
 - Compiler
 - Linker
 - Flasher

Nachteil

- relativ großen Strombedarf zum Vergleich AVR-Mikrokontrollern



Bildquelle: st.com

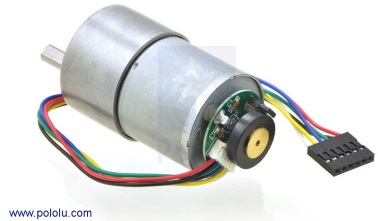
Eingesetzte Motoren

Gute Eigenschaften

- Betriebsspannung ca. 12V
- Drehmoment 0.7767Nm
- eingebauter 64-Segmenten Encoder
- Getriebe mit 30:1 Übersetzung
- max. 5A Strom bei Festhalten der Motorachse

Nachteil

- richtungsabhängige Verstärkung



Bildquelle: pololu.com

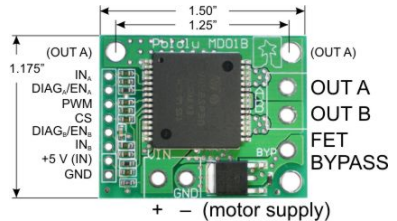
Motortreiber (alt) VNH3SP30 H-Brücke

Gute Eigenschaften

- Betriebsspannung bis ca. 20V
- max. Spritzenstrom 10A
- thermisch belastbar

Nachteil

- kein eingebauter Shunt-Widerstand
- nur für einen Motor



Bildquelle: pololu.com

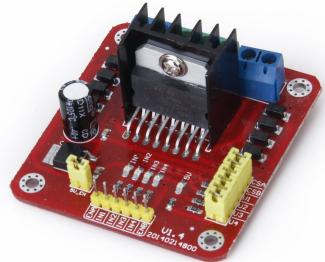
Motortreiber (neu) L298N H-Brücke

Gute Eigenschaften

- Betriebsspannung bis ca. 15V
- max. Spritzenstrom ca. 1A
- wenig thermisch belastbar
- für 2 Motoren

Nachteil

- kein eingebauter Shunt-Widerstand

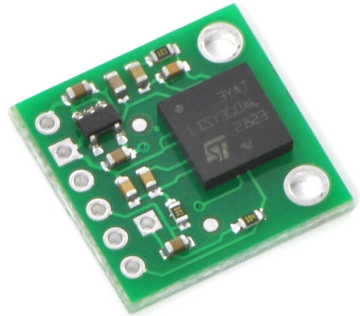


Bildquelle: amazon.de Nutzer: Generic

Eingesetztes Gyroskop LISY300AL

Gute Eigenschaften

- Eingangsspannung 5V
- interne 3.3V Regler
- sehr empfindlich
- Sensitivity $3.3\text{mV}/^\circ/\text{s}$



Bildquelle: pololu.com

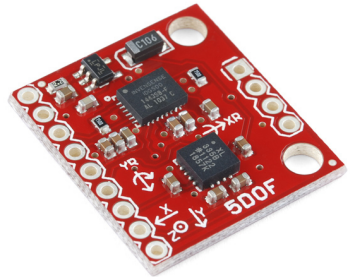
Eingesetzter Beschleunigungssensor ADXL335 Gyroskop IDG500

Gute Eigenschaften

- Betriebsspannung 3.3V Regler
- Gyroscope-Sensitivity $2.0\text{mV}/^\circ/\text{s}$
- ADXL335-Sensitivity $300\text{mV}/\text{g}$

Nachteil

- Beschleunigungssensor verrauscht stark
- Kalman-Filter ursprünglich von <http://tom.pycke.be/> eingesetzt



Bildquelle: sparkfun.com

XBEE für drahtlose Kommunikation

Gute Eigenschaften

- Betriebsspannung 3.3V
- serielle Kommunikation über USART
- 1600m erreichbar laut Datenblatt
- Datendurchsatz von 1Mbps

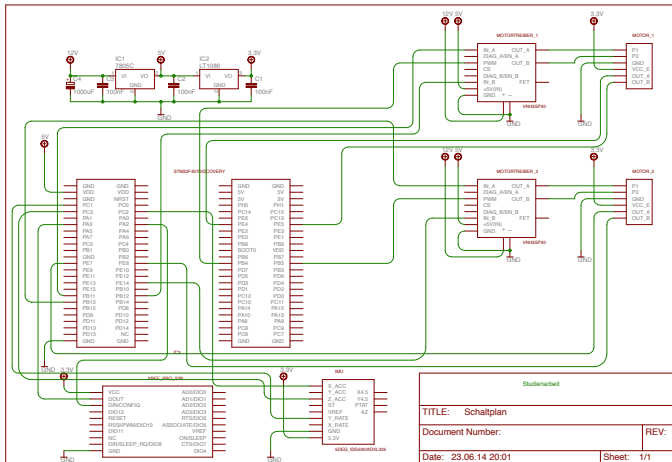
Nachteile

- 2 Stück benötigt

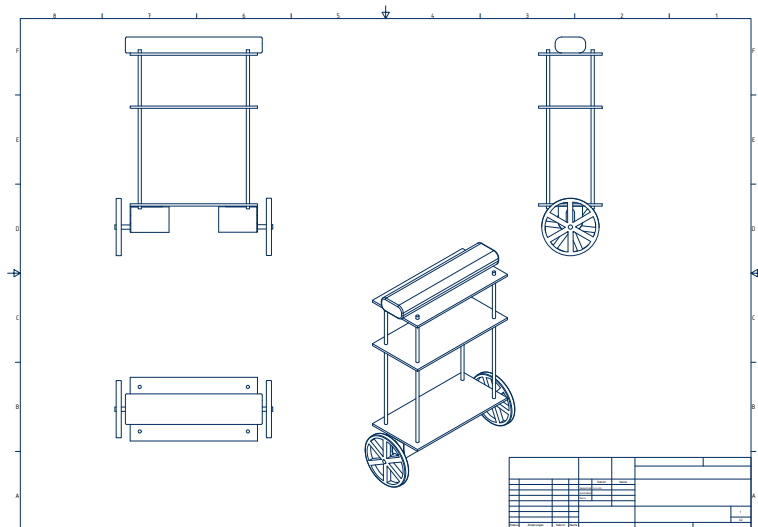


Bildquelle: de.rs-online.com

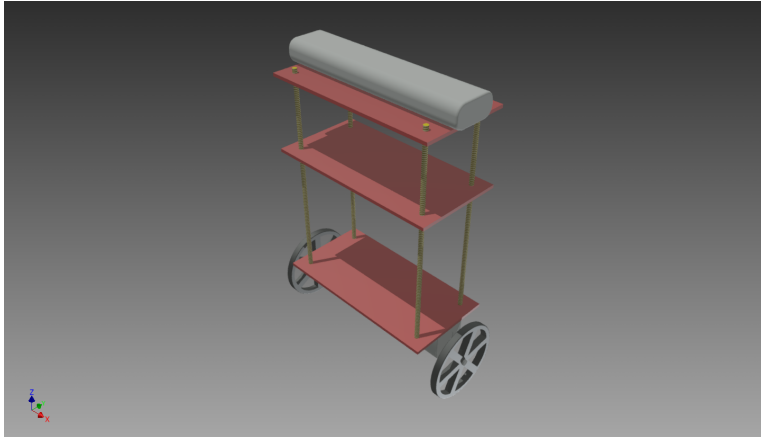
Schaltplan



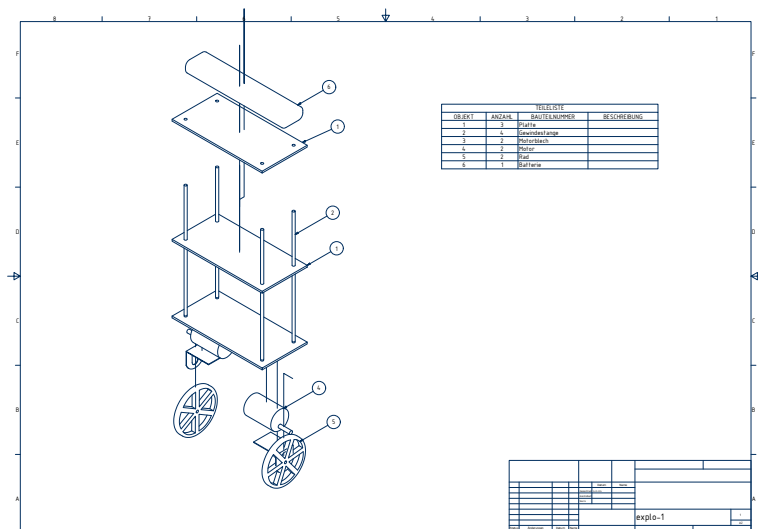
Mechanischer Bauplan



Mechanischer Bauplan



Mechanischer Bauplan



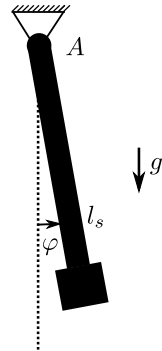
Gliederung

- Einführung
- Modellbildung
- Reglerentwurf
- Mechanischer Aufbau und elektrische Komponenten
- **Umsetzung**
- Ergebnis
- Zusammenfassung und Ausblick

Parameteridentifikation: Trägheitsmoment J_p

Schwingungsversuch

- schwer zu messen
- $J_p = J_A - m_1 l_s^2$
$$\ddot{\varphi} + \underbrace{\frac{l_s m_1 g}{J_A}}_{\omega_0^2} \sin(\varphi) = 0 \text{ für } \sin(\varphi) \approx \varphi$$
- $J_p = J_A - m_1 l_s^2 = \frac{l_s m_1 g T^2}{4\pi^2} - m_1 l_s^2$
- gemessen $T \approx 0.9\text{s}$ $J_p \approx 0.0091\text{kgm}^2$



Trägheitsmoment J_m des Rades

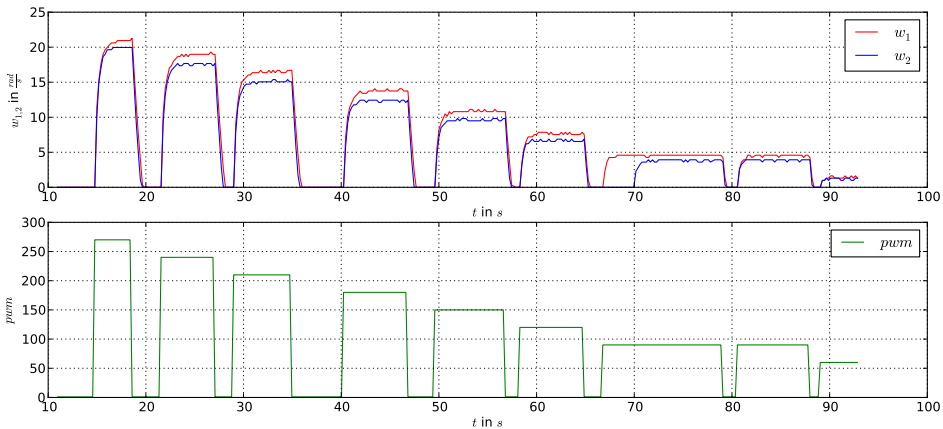


betrachtet als sehr dünnen Vollzylinder

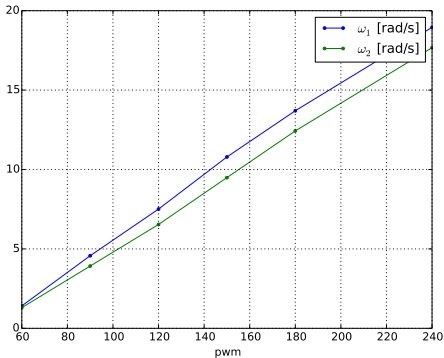
- $J_m = 2 \frac{mr^2}{2} = mr^2 = 6.48 \cdot 10^{-5} \text{ kgm}^2$

Bildquelle: pololu.com

Identifikation der Motoren



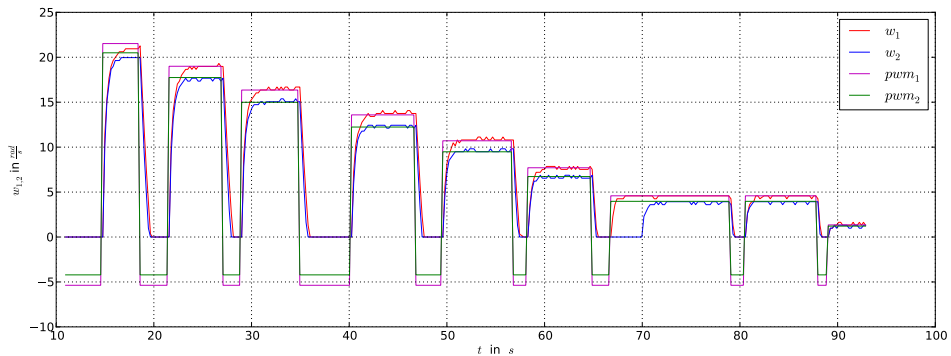
Analyse der Regression "Methode der



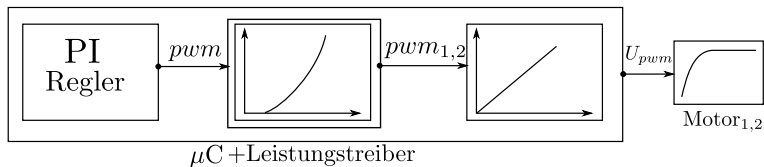
Stichproben

$$\begin{aligned}\text{Gesuchte Polynom } pwm_1 &= 9.80666 \cdot 10^{-2} \cdot pwm - 4.241 \\ pwm_2 &= 9.18355 \cdot 10^{-2} \cdot pwm - 4.295.\end{aligned}$$

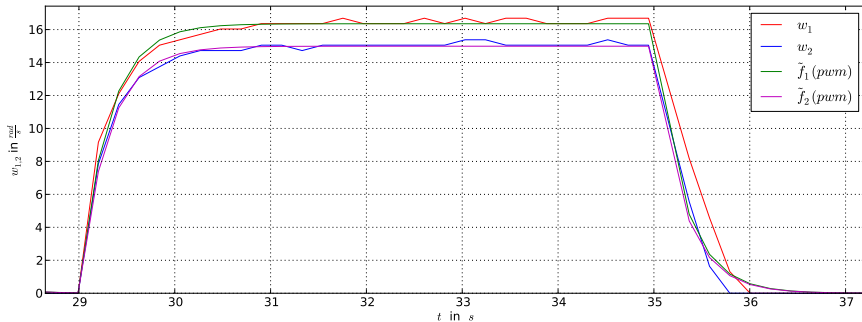
Identifikation der Motoren



Prinzip der PWM-Umrechnung



Angenäherte Funktion $T = 0.3s$



Auswertung des Inkrementalgebers

- $\pm 90^\circ$ phasenverschobenes Signal

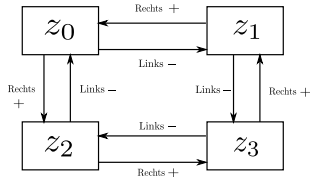
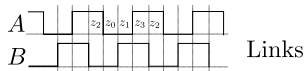
- Zuordnung der Signalfolgen

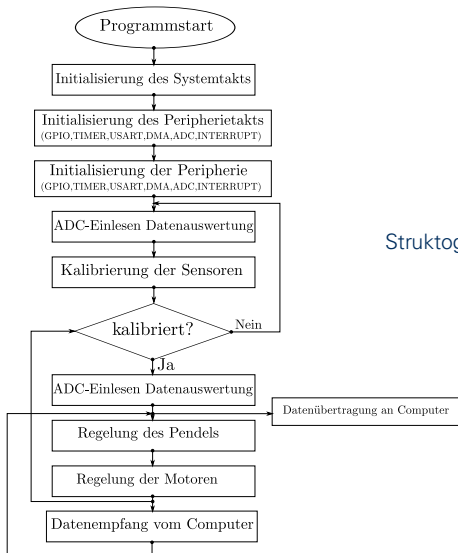
$$A \in \{0, 1\}, \quad B \in \{0, 1\}$$

Zustand	A	B	Kodierung
z_0	0	0	0
z_1	0	1	1
z_2	1	0	2
z_3	1	1	3

- Rechts: $z_1 \rightarrow z_0 \rightarrow z_2 \rightarrow z_3 \rightarrow z_0 \dots$

Links : $z_2 \rightarrow z_0 \rightarrow z_1 \rightarrow z_3 \rightarrow z_2 \dots$



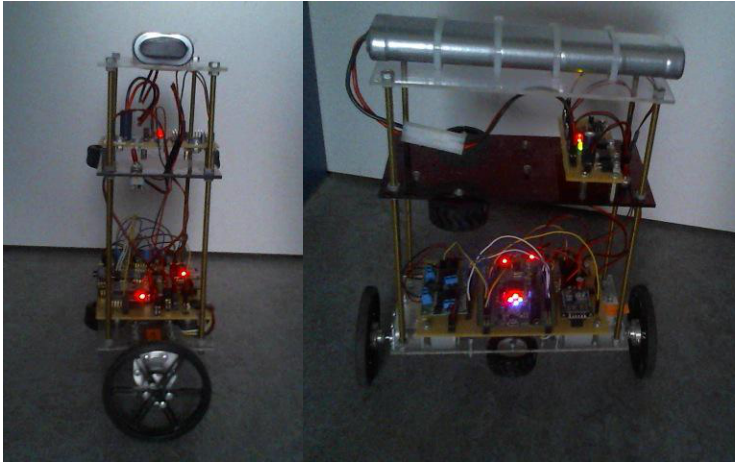


Struktogramm der Software

Gliederung

- Einführung
- Modellbildung
- Reglerentwurf
- Mechanischer Aufbau und elektrische Komponenten
- Umsetzung
- Ergebnis
- Zusammenfassung und Ausblick

Ergebnis



Gliederung

- Einführung
- Modellbildung
- Reglerentwurf
- Mechanischer Aufbau und elektrische Komponenten
- Umsetzung
- Ergebnis
- Zusammenfassung und Ausblick

Zusammenfassung und Ausblick

Zusammenfassung:

Der Zustadsregler ist etwas empfindlich gegenüber Parameterungenauigkeit. Mit einer I-Regler-Erweiterung funktioniert die Stabilisierung besser als zuvor. Die Reibung im Gelenkraum ist vernachlässigt. Die Modulierung der Reibung war nötig.

Ausblick:

Mit einer LQ-Regler könnte die Stabilisierung besser werden. Eine Optimierung der unterlagerten PI-Regelung kann benötigt werden.